



١٤٢٣٢



بررسی اثر سرعت پیشروی و بار دینامیکی بر مقاومت غلتشی چرخ غیر
محرك در شرایط انباره خاک و آزمونگر تک چرخ طراحی شده

عارف مردانی کرانی

دانشکده کشاورزی

گروه مکانیک ماشین های کشاورزی

تابستان ۱۳۸۹

رساله برای دریافت درجه دکتری تخصصی (PhD)

اساتید راهنما:

دکتر سید کاظم شهیدی

دکتر بهبود مشعوفی

استاد مشاور:

دکتر علالدین رحمانی دیدار

مجوز حق طبع و نشر محتواي پابيان نامه برای دانشگاه ارومیه محفوظ است.

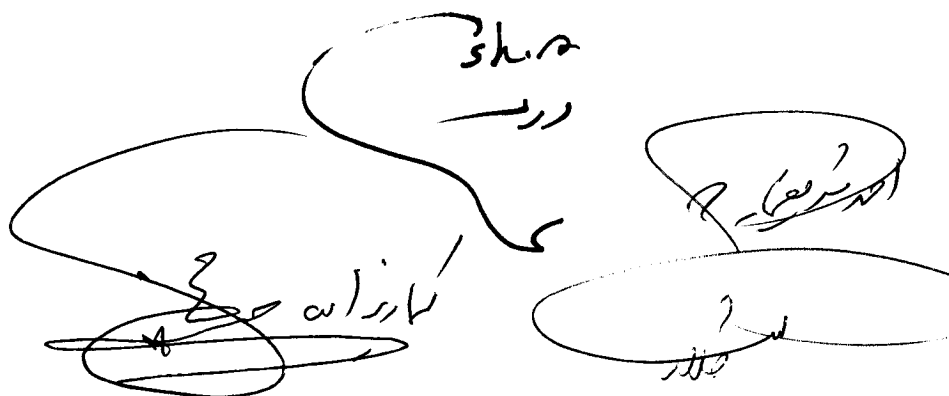
پایان نامه آقای عارف مردانی کرانی به شماره ۸۹/۵/۳ به تاریخ -۲-ک مورد پذیرش هیات محترم
داوران با رتبه عالی و نمره ۱۹۱۶ قرار گرفت.

۱- استاد راهنمای اول و رئیس هیئت داوران :



سید محمد ناصر

۲- استاد راهنمای دوم :



احمدی در

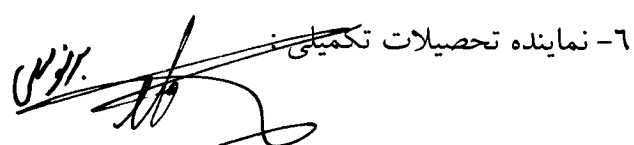
دکتر سید علی

دکتر مختار

۳- استاد مشاور :

۴- داور خارجی :

۵- داور داخلی :



نماينده تحصيلات تكميلي

حق طبع و نشر اين رساله متعلق به دانشگاه اروميه است.

تقدیم به

مادرم

پدرم

و همسرم

چکیده

چرخ، مهمترین عامل کشش یا جایگایی در ماشین های متحرک است. مقاومت غلتشی چرخ ها، یکی از عمدۀ ترین افت های انرژی در چرخ ها به شمار می رود. مقاومت غلتشی، غالبا برایندی از دو فرایند تغییر شکل خاک و تغییر شکل چرخ معرفی می شود. البته مقاومت غلتشی در حین حرکت چرخ و مخصوصا طی بارگذاری دینامیکی، متغیر می باشد. این تحقیق، به بررسی اثر سرعت پیشروی و بار دینامیکی بر مقاومت غلتشی چرخ های غیر محرک با استفاده از یک آزمونگر تک چرخ سویل بینی پرداخته است. در قدم نخست، سویل بینی برای انجام آزمون های تقابل خاک و ابزار طراحی شده است. سویل بین دارای طول مفید ۲۳ متر، عرض ۲ متر و عمق خاک یک متر است. ابعاد کanal خاک، تامین سرعت های بالا و همچنین، عرض کار بالایی را مهیا کرده است. یک الکتروموتور سه فاز با توان ۳۰ اسب بخار برای راه اندازی حامل سویل بین به واسطه زنجیرهایی در طول کanal خاک مورد استفاده قرار گرفته است. حامل سویل بین متشكل از یک شاسی و یک قاب ابزار بوده و می تواند با سرعتی تا ۲۰ کیلومتر بر ساعت حرکت نماید و قادر است در هر حرکت خود سه سری ابزار را بروی خود حمل و راه اندازی کند. در قدم بعد، یک آزمونگر تک چرخ برای الحاق به سویل بین، طراحی و ساخته شده است که توسط حامل سویل بین، راه اندازی می شود. آزمون های اولیه ای برای بررسی عملکرد سویل بین و آزمونگر تک چرخ به انجام رسیده است. نتایج به دست آمده حاکی از آن بوده است که سرعت پیشروی چرخ، تاثیر معنی داری را بر روی مقاومت غلتشی چرخ نداشته است. از طرف دیگر، بار دینامیکی متغیر روی چرخ، منجر به ایجاد مقاومت غلتشی با تغییرات مشابهی شده است. همچنین مقاومت غلتشی چرخ نسبت به بار دینامیکی، از یک تاخیر زمانی بین ۰/۱ تا ۰/۵ بروخوردار بوده است. داده های به دست آمده در آزمایش های چرخ و خاک توانسته اند یک شبکه عصبی مصنوعی را با رگرسیونی در حدود ۰/۹۳ آموزش دهنند. رگرسیون تست شبکه مزبور هم در حدود ۰/۹۲ بوده است. نتایج شبیه سازی شبکه عصبی آموزش یافته، تایید دیگری بر عدم وابستگی مقاومت غلتشی چرخ به پارامتر سرعت پیشروی و همچنین تغییرات هماهنگ بار دینامیکی و مقاومت غلتشی داشته است.

واژه های کلیدی: چرخ، مقاومت غلتشی، بار دینامیکی، سویل بین، آزمونگر تک چرخ، شبکه های عصبی.

فهرست مطالب

عنوان	شماره صفحه
مقدمه	۱
مقدمه ای بر چرخ و اهمیت مطالعه عملکرد آن	۱-۱
مقدمه ای بر سامانه های آزمون خاک و ماشین	۲-۱
رویارویی چرخ و خاک و مقاومت غلتشی	۲-۱
فرضیه های پژوهش	۴-۱
اهداف مورد نظر	۰-۱
مرور منابع	۴
مدل کردن برهم کنش چرخ و خاک	۱-۲
مدل های تحلیلی چرخ و خاک	۱-۱-۲
مدل های نیمه تجربی چرخ و خاک	۲-۱-۲
مدل های نیمه تجربی مبتنی بر معادله بکر	۱-۲-۱-۲
کشش و تئوری برش خاک	۲-۲-۱-۲
مقاومت غلتشی	۳-۲-۱-۲
مقاومت ناشی از انباشته شدن خاک در جلو چرخ	۴-۲-۱-۲
مدل های تجربی چرخ و خاک	۳-۱-۲
پیشینه مطالعات پیرامون تاثیر بار دینامیکی و سرعت	۴-۱-۲
سویل بین	۲-۲
آزمونگر تک چرخ	۳-۲
مواد و روشها	۴۵
طراحی و ساخت سویل بین	۱-۳
طراحی ابعاد سویل بین	۱-۱-۳
بررسی و آنالیز ساختمان کانال خاک	۲-۱-۳
فصل اول	۱
فصل دوم	۴
فصل سوم	۴۵

۵۱	طراحی حامل	۳-۱-۳
۵۵	طراحی مشخصات موتور و سیستم انتقال قدرت	۴-۱-۳
۵۸	سیستم کنترل سرعت حامل	۵-۱-۳
۵۹	خاک ریزی و آماده سازی کانال خاک	۶-۱-۳
۶۱	تجهیزات فرآوری و آماده سازی خاک	۷-۱-۳
۶۲	آزمون های اولیه و بررسی عملکرد سویل بین	۲-۳
۶۴	طراحی مجموعه چرخ و سیستم بار دینامیکی	۳-۳
۶۴	طراحی و ساخت آزمونگر تک چرخ	۱-۳-۳
۶۷	mekanizm ایجاد بار متغیر بر روی چرخ	۲-۳-۳
۶۹	ترانسدیوسرهای سامانه جمع آوری و ثبت داده ها	۴-۳
۷۲	تعیین سختی خاک	۵-۳
۷۳	تعیین مشخصات ارتقایی چرخ	۶-۳
۷۳	مشخصات ارتقایی چرخ بر روی سطح سخت	۱-۶-۳
۷۵	تعیین سطح تماس چرخ بر روی خاک	۲-۶-۳
۷۷	شبکه های عصبی	۷-۳
۷۹	روش انجام آزمون ها و داده برداری	۸-۳
۸۰	نتایج و بحث	فصل چهارم
۸۰	بررسی عملکرد سویل بین	۱-۴
۸۱	تعیین مشخصات ارتقایی چرخ	۲-۴
۸۱	مشخصات ارتقایی چرخ بر روی سطح سخت	۱-۲-۴
۸۴	مشخصات ارتقایی چرخ بر روی خاک	۲-۲-۴
۸۵	داده های برداشت شده از لودسل ها	۳-۴
۸۶	بررسی اثر بار دینامیکی بر روی مقاومت غلتی چرخ	۱-۳-۴
۱۰۷	اثر سرعت پیشروی بر مقاومت غلتی چرخ	۲-۳-۴
۱۱۳	تأثیر فشار باد تایر بر مقاومت غلتی چرخ	۳-۳-۴
۱۱۵	تأثیر بار روی چرخ بر روی مقاومت غلتی چرخ	۴-۳-۴

۱۱۶	تغییرات ضریب مقاومت غلتشی	۰-۳-۴
۱۱۶	تأثیر سرعت پیشروی بر ضریب مقاومت غلتشی	۱-۵-۳-۴
۱۱۸	تأثیر فشار باد تایر بر ضریب مقاومت غلتشی چرخ	۲-۵-۳-۴
۱۱۹	اثیر بار عمودی بر ضریب مقاومت غلتشی	۳-۵-۳-۴
۱۲۱	بررسی اثر متقابل سرعت پیشروی، بار و فشار باد تایر	۶-۳-۴
۱۲۲	بررسی داده ها با استفاده از شبکه های عصبی	۷-۳-۴
۱۲۷	نتیجه گیری و پیشنهادات	فصل پنجم
۱۳۰	منابع	
۱۳۵	پیوست ها	

فهرست شکل ها

شماره صفحه	عنوان شکل
۵	شکل ۲-۱ دیاگرام آزاد یک چرخ بر روی خاک به همراه تنش های قائم و مماسی واردہ بر آن
۷	شکل ۲-۲ تعیین پارامترهای خاک در معادله بکر با استفاده از صفحات فشاری روی خاک
۸	شکل ۳-۲ ترسیم معادله نشست در برابر لگاریتم فشار روی صفحه و تعیین مقدار پارامتر n
۹	شکل ۴-۲ تطبیق رابطه چرخ و خاک با معادله بکر
۱۱	شکل ۵-۲ دیاگرام آزاد اثرات واردہ بر یک از چرخ های محرک و غیر محرک
۱۲	شکل ۶-۲ فرض بیضی شکل بودن سطح تماس چرخ و خاک
۱۴	شکل ۷-۲ تغییر مکان نقطه اثر بیشترین فشار عمودی زیر چرخ بر مبنای مطالعات وانگ در سال ۱۹۹۳
۱۹	شکل ۸-۲ تغییرات عدد چرخ در مقابل فشار باد چرخ، عرض چرخ و قطر چرخ (ساریالاتی، ۲۰۰۱)
۲۰	شکل ۹-۲ نتایج پیش بینی ضریب مقاومت غلتی چرخ در مقابل بار عمودی توسط چند مدل مختلف
۲۱	شکل ۱۰-۲ پارامترهای درنظر گرفته شده در معادله مک ری
۲۵	شکل ۱۱-۲ نحوه تعیین مقدار مدول برشی خاک
۲۷	شکل ۱۲-۲ مقایسه نتایج مدل هارنیش موسوم به $AS^2 TM$ با داده های واقعی مزرعه در رابطه با تخمین نشست
۲۸	شکل ۱۳-۲ مقایسه نتایج مدل هارنیش موسوم به $AS^2 TM$ با داده های واقعی مزرعه در رابطه با تخمین کشش
۲۹	شکل ۱۴-۲ تغییر شکل افقی چرخ و تاثیر آن در سرعت پیشروی چرخ
۳۰	شکل ۱۵-۲ مولفه های تشکیل دهنده انرژی کل مصرفی چرخ در قالب مقاومت غلتی
۳۲	شکل ۱۶-۲ اثر سرعت پیشروی بر نشست چرخ در دو فشار باد تایر بر اساس مطالعات پیتکا و همکاران
۳۲	شکل ۱۷-۲ تغییرات کوهیزن و اصطکاک داخلی خاک در حین حرکت چرخ در آزمایشات ایاگنما و دابوفسکی
۳۳	شکل ۱۸-۲ سهم چرخ و خاک از مقاومت کل در فشار های مختلف باد تایر در تحقیق ناگوئن ون و همکاران
۳۳	شکل ۱۹-۲ نتایج مربوط به بررسی اثر سرعت پیشروی چرخ بر مقاومت غلتی بر اساس مطالعات توپاس وی

- شکل ۲۰-۲ نتایج مربوط به بررسی اثر سرعت پیشروی چرخ بر مقاومت غلتی بر اساس مطالعات ناگواکا
- شکل ۲۱-۲ اثر سرعت پیشروی بر ضریب مقاومت غلتی چرخ (MRR) طی تحقیقات زوز و گریسو
- شکل ۲۲-۲ نتایج تحقیق تابورک در رابطه با تاثیر سرعت پیشروی بر ضریب مقاومت غلتی یک چرخ
- شکل ۲۳-۲ انباره خاک مورد استفاده در آزمایشگاه ملی دینامیک خاک آمریکا را در سال ۱۹۴۲
- شکل ۲۴-۲ تصویری از مجموعه انباره های خاک موجود در NSDL
- شکل ۲۵-۲ یک آزمونگر مخصوص چرخ های سطوح سخت
- شکل ۲۶-۲ یک آزمونگر متحرک چرخ بر روی سطوح سخت که توسط یک خودرو کشیده می شود
- شکل ۲۷-۲ آزمونگر و انباره خاک لابراتوار ریاتیک دانشگاه MIT
- شکل ۲۸-۲ آزمونگر تک چرخ مزروعه ای ناگواکا و همکاران در سال ۲۰۰۱
- شکل ۲۹-۲ آزمونگر چرخ مجموعه NSDL که توسط توomas وی در سال ۲۰۰۶ توسعه داده شده است.
- شکل ۳۰-۲ آزمونگر چرخ مجموعه NSDL برای چرخ های کوچک- توomas وی ۲۰۰۶
- شکل ۳۱-۲ آزمونگر تک چرخ مزروعه ای واندرلیچ و همکاران
- شکل ۳۲-۲ آزمونگر چرخ های بزرگ در محیط انباره خاک (الکساندرو و همکاران، ۱۹۹۸)
- شکل ۳۳-۲ نمایی از آزمونگر تک چرخ ساخته شده توسط یوشیوکی و همکاران
- شکل ۳۴-۲ آزمونگر تک چرخ و انباره خاک ساخته شده توسط پریتز در سال ۲۰۰۷ در انگلستان
- شکل ۳-۱ تعیین حد اقل عرض کanal خاک بر مبنای امکان به کارگیری چهار عرض کار ۴۰ سانتیمتری
- شکل ۳-۲ نحوه تعیین حداقل ارتفاع لایه خاک(جود لیو)
- شکل ۳-۳ نحوه تعیین حداقل ارتفاع لایه خاک بر اساس ابزارهای تغییردهنده سطح خاک (جود لیو)
- شکل ۳-۴ مدل ساده سازی شده از بخشی از ردیفهای تیرهای کف سویل بین
- شکل ۳-۵ مدل شبیه سازی شده از تیرهای کف سویل بین در محیط نرم افزار انسیس
- شکل ۳-۶ تصویری از نحوه قرارگیری تیرها در سه ردیف موازی بر روی فونداسیون بتی کف

- ۵۰ شکل ۲-۷ تصویری از تیرها و اسکلت کلی کانال خاک
- ۵۱ شکل ۳-۸ کانال ساخته شده قبیل از خاکریزی و نصب حامل و سایر اجزاء سویل بین
- ۵۲ شکل ۳-۹ حامل انباره خاک و ملحقات آن
- ۵۳ شکل ۳-۱۰ نحوه عملکرد مکانیزم بالابر ابزار
- ۵۴ شکل ۳-۱۱ مکانیزم تنظیم موقعیت عرضی ابزار بر روی حامل
- ۵۵ شکل ۳-۱۲ سیستم کابل متحرک برای تامین برق مصرفی حامل در حین حرکت
- ۵۶ شکل ۳-۱۳ نحوه قرارگیری سیستم انتقال قدرت و موتور بر روی سویل بین
- ۵۷ شکل ۳-۱۴ نمای شماتیک از وضعیت قرارگیری موتور، سیستم انتقال قدرت و حامل سویل بین
- ۵۸ شکل ۳-۱۵ مجموعه محرک و سیستم انتقال قدرت نصب شده بر روی سویل بین
- ۵۹ شکل ۳-۱۶ نمایی از محور انتهایی کانال خاک
- ۶۰ شکل ۳-۱۷ شتاب های راه اندازی و ترمز اینورتر در قالب تعیین زمان راه اندازی و یا ترمز
- ۶۱ شکل ۳-۱۸ نمایی از تابلو برق و اینورتر مجموعه
- ۶۲ شکل ۳-۱۹ پر کردن کانال خاک با استفاده از خاک ریزی توسط کارگر
- ۶۳ شکل ۳-۲۰ لوله نصب شده بر روی حامل
- ۶۴ شکل ۳-۲۱ چنگه ساخته شده برای فرآوری خاک داخل کانال
- ۶۵ شکل ۳-۲۲ نیروی کلی واردہ بر حامل در سه ناحیه راه اندازی، حرکت یکنواخت و محدوده ترمی
- ۶۶ شکل ۳-۲۳ آزمونگر تک چرخ دو بازویی
- ۶۷ شکل ۳-۲۴ آزمونگر تک چرخ چهار بازویی با امکان اندازه گیری کشش خالص
- ۶۸ شکل ۳-۲۵ آزمونگر تک چرخ چهار بازویی
- ۶۹ شکل ۳-۲۶ مجموعه کامل انباره خاک و آزمونگر تک چرخ به صورت شماتیک
- ۷۰ شکل ۳-۲۷ آزمونگر تک چرخ ساخته شده در وضعیت نصب بر روی حامل انباره خاک

- ۶۷ شکل ۳-۲۸ مکانیزم بادامکی ایجاد کننده بار نوسانی در آزمونگر چرخ
- ۶۸ شکل ۳-۲۹ تصویری از مجموعه ایجاد بار نوسانی بر روی چرخ
- ۶۹ شکل ۳-۳۰ مکانیزم چهار بازویی نگهدارنده چرخ برای چرخ های غیر محرک یا محرک
- ۷۰ شکل ۳-۳۱ مجموعه کامل انباره خاک و آزمونگر تک چرخ ساخته شده
- ۷۱ شکل ۳-۳۲ لودسل های پنج گانه نصب شده بر روی آزمونگر تک چرخ
- ۷۲ شکل ۳-۳۳ مجموع نیروهای چهار لودسل در قالب نیروی مقاومت غلتشی چرخ غیر محرک
- ۷۳ شکل ۳-۳۴ مجموعه انتقال و ثبت داده ها
- ۷۴ شکل ۳-۳۵ تصویری از لودسل ها و مجموعه جمع آوری و ثبت داده نصب شده بر روی حامل
- ۷۵ شکل ۳-۳۶ تصویری از پترومتر (تفوڑ سنج) مورد استفاده
- ۷۶ شکل ۳-۳۷ روش های مختلف تعریف سطح تماس چرخ و خاک
- ۷۷ شکل ۳-۳۸ روش ایجاد پروفیل سطح تماس چرخ در سویل بین
- ۷۸ شکل ۳-۳۹ روند تغییرات سطح تماس چرخ در اثر تغییرات بار و فشار باد با کنار هم قرار دادن نمونه ها
- ۷۹ شکل ۳-۴۰ پروفیل سطح تماس چرخ با خاک با استفاده از پاشیدن پودر گچ بر روی خاک
- ۸۰ شکل ۳-۴۱ قرار دادن دوربین بر روی صفحه شیشه ای در فاصله ثابت از سطح خاک
- ۸۱ شکل ۳-۴۲ عکس منتقل شده به محیط اتوکد و تشکیل پروفیل پیرامونی سطح تماس
- ۸۲ شکل ۴-۱ اندازه گیری مقاومت حرکت بدون بار حامل با اتصال دو لودسل در محل اتصال زنجیرهای کشته
- ۸۳ شکل ۴-۲ تغییرات نیروی واردہ بر حامل برای رسیدن به سرعت هدف یک متر بر ثانیه
- ۸۴ شکل ۴-۳ روند تغییرات شماتیک سطح تماس چرخ در اثر تغییرات بار و فشار باد با کنار هم قرار دادن نمونه ها
- ۸۵ شکل ۴-۴ تغییرات سطح تماس چرخ را در اثر افزایش بار
- ۸۶ شکل ۴-۵ تغییرات سطح تماس چرخ را در اثر کاهش فشار باد تاییر
- ۸۷ شکل ۴-۶ تغییرات فشار متوسط زیر چرخ در برابر تغییرات فشار باد تاییر در بارهای مختلف

- شکل ۷-۴ تغییرات فشار متوسط زیر چرخ در برابر تغییرات بار عمودی در فشارهای مختلف باد تایر
- شکل ۸-۴ تغییرات سطح تماس چرخ با خاک در مقابل افزایش بار عمودی و در فشارهای مختلف باد تایر
- شکل ۹-۴ تغییرات نیرو در لودسل های چهارگانه افقی و هماهنگی دوبعدی لودسل های بالا و پائین
- شکل ۱۰-۴ تغییرات بار و مقاومت غلتی با داده های همزمان و عدم هماهنگی فراز و فرودهای دو نمودار
- شکل ۱۱-۴ تغییرات بار و مقاومت غلتی با داده های شیفت شده و هماهنگی فراز و فرودهای دو نمودار
- شکل ۱۲-۴ تغییرات بار دینامیکی و مقاومت غلتی در بار استاتیکی 5 kN ، فشار 100 kPa و سرعت 0.7 m/s
- شکل ۱۳-۴ تغییرات ضریب مقاومت غلتی در بار استاتیکی 5 kN ، فشار باد 100 kPa و سرعت 0.7 m/s
- شکل ۱۴-۴ تغییرات مقاومت غلتی - بار دینامیکی در بار استاتیکی 5 kN ، فشار 100 kPa و سرعت 0.7 m/s
- شکل ۱۵-۴ تغییرات بار دینامیکی و مقاومت غلتی در بار استاتیکی 4 kN ، فشار 100 kPa و سرعت 1.4 m/s
- شکل ۱۶-۴ تغییرات ضریب مقاومت غلتی در بار استاتیکی 4 kN ، فشار باد 100 kPa و سرعت 1.4 m/s
- شکل ۱۷-۴ تغییرات مقاومت غلتی بار دینامیکی در بار استاتیکی 4 kN ، فشار 100 kPa و سرعت 1.4 m/s
- شکل ۱۸-۴ تغییرات بار دینامیکی و مقاومت غلتی در بار استاتیکی 5 kN ، فشار 100 kPa و سرعت 1.4 m/s
- شکل ۱۹-۴ تغییرات ضریب مقاومت غلتی در بار استاتیکی 5 kN ، فشار باد 100 kPa و سرعت 1.4 m/s
- شکل ۲۰-۴ تغییرات مقاومت غلتی بار دینامیکی در بار استاتیکی 5 kN ، فشار 100 kPa و سرعت 1.4 m/s
- شکل ۲۱-۴ تغییرات بار دینامیکی و مقاومت غلتی در بار استاتیکی 4 kN ، فشار باد 100 kPa و سرعت 2 m/s
- شکل ۲۲-۴ تغییرات ضریب مقاومت غلتی در بار استاتیکی 4 kN ، فشار باد 100 kPa و سرعت 2 m/s
- شکل ۲۳-۴ تغییرات مقاومت غلتی بار دینامیکی در بار استاتیکی 4 kN ، فشار 100 kPa و سرعت 2 m/s
- شکل ۲۴-۴ تغییرات بار دینامیکی و مقاومت غلتی در بار استاتیکی 5 kN ، فشار باد 100 kPa و سرعت 2 m/s
- شکل ۲۵-۴ تغییرات ضریب مقاومت غلتی در بار استاتیکی 5 kN ، فشار باد 100 kPa و سرعت 2 m/s
- شکل ۲۶-۴ تغییرات مقاومت غلتی - بار دینامیکی در بار استاتیکی 5 kN ، فشار باد 100 kPa و سرعت 2 m/s
- شکل ۲۷-۴ تغییرات بار دینامیکی و مقاومت غلتی در بار استاتیکی 4 kN ، فشار 200 kPa و سرعت 0.7 m/s

- ۹۴ شکل ۲۸-۴ تغییرات ضریب مقاومت غلتشی در بار استاتیکی ۴ kN ، فشار باد ۲۰۰ kPa و سرعت ۰.۷ m/s
- ۹۴ شکل ۲۹-۴ تغییرات مقاومت غلتشی - بار دینامیکی در بار استاتیکی ۴ kN ، فشار - ۲۰۰ kPa و سرعت ۰.۷ m/s
- ۹۵ شکل ۳۰-۴ تغییرات بار دینامیکی و مقاومت غلتشی در بار استاتیکی ۵ kN ، فشار باد ۲۰۰ kPa و سرعت ۰.۷ m/s
- ۹۵ شکل ۳۱-۴ تغییرات ضریب مقاومت غلتشی در بار استاتیکی ۵ kN ، فشار باد ۲۰۰ kPa و سرعت ۰.۷ m/s
- ۹۵ شکل ۳۲-۴ تغییرات مقاومت غلتشی - بار دینامیکی در بار استاتیکی ۵ kN ، فشار باد ۲۰۰ kPa و سرعت ۰.۷ m/s
- ۹۶ شکل ۳۳-۴ تغییرات بار دینامیکی و مقاومت غلتشی در بار استاتیکی ۴ kN ، فشار باد ۲۰۰ kPa و سرعت ۱.۴ m/s
- ۹۶ شکل ۳۴-۴ تغییرات ضریب مقاومت غلتشی در بار استاتیکی ۴ kN ، فشار باد ۲۰۰ kPa و سرعت ۱.۴ m/s
- ۹۶ شکل ۳۵-۴ تغییرات مقاومت غلتشی - بار دینامیکی در بار استاتیکی ۴ kN ، فشار باد ۲۰۰ kPa و سرعت ۱.۴ m/s
- ۹۷ شکل ۳۶-۴ تغییرات بار دینامیکی و مقاومت غلتشی در بار استاتیکی ۴ kN ، فشار باد ۲۰۰ kPa و سرعت ۲m/s
- ۹۷ شکل ۳۷-۴ تغییرات ضریب مقاومت غلتشی در بار استاتیکی ۴ kN ، فشار باد ۲۰۰ kPa و سرعت ۲m/s
- ۹۷ شکل ۳۸-۴ تغییرات مقاومت غلتشی - بار دینامیکی در بار استاتیکی ۴ kN ، فشار باد ۲۰۰ kPa و سرعت ۲m/s
- ۹۸ شکل ۳۹-۴ تغییرات بار دینامیکی و مقاومت غلتشی در بار استاتیکی ۵ kN ، فشار باد ۲۰۰ kPa و سرعت ۲ m/s
- ۹۸ شکل ۴۰-۴ تغییرات ضریب مقاومت غلتشی در بار استاتیکی ۵ kN ، فشار باد ۲۰۰ kPa و سرعت ۲ m/s
- ۹۸ شکل ۴۱-۴ تغییرات مقاومت غلتشی - بار دینامیکی در بار استاتیکی ۵ kN ، فشار باد ۲۰۰ kPa و سرعت ۲ m/s
- ۹۹ شکل ۴۲-۴ تغییرات بار دینامیکی و مقاومت غلتشی در بار استاتیکی ۴ kN ، فشار باد ۳۰۰ kPa و سرعت ۰.۷ m/s
- ۹۹ شکل ۴۳-۴ تغییرات ضریب مقاومت غلتشی در بار استاتیکی ۴ kN ، فشار باد ۳۰۰ kPa و سرعت ۰.۷ m/s
- ۹۹ شکل ۴۴-۴ تغییرات مقاومت غلتشی - بار دینامیکی در بار استاتیکی ۴ kN ، فشار باد ۳۰۰ kPa و سرعت ۰.۷ m/s
- ۱۰۰ شکل ۴۵-۴ تغییرات بار دینامیکی و مقاومت غلتشی در بار استاتیکی ۵ kN ، فشار باد ۳۰۰ kPa و سرعت ۰.۷ m/s
- ۱۰۰ شکل ۴۶-۴ تغییرات ضریب مقاومت غلتشی در بار استاتیکی ۵ kN ، فشار باد ۳۰۰ kPa و سرعت ۰.۷ m/s
- ۱۰۰ شکل ۴۷-۴ تغییرات مقاومت غلتشی - بار دینامیکی در بار استاتیکی ۵ kN ، فشار باد ۳۰۰ kPa و سرعت ۰.۷ m/s
- ۱۰۱ شکل ۴۸-۴ تغییرات بار دینامیکی و مقاومت غلتشی در بار استاتیکی ۵ kN ، فشار باد ۳۰۰ kPa و سرعت ۱.۴ m/s

- شکل ۴-۴۹ تغییرات ضریب مقاومت غلتتشی در بار استاتیکی ۵ kN ، فشار باد ۳۰۰ kPa و سرعت ۱.۴ m/s
- شکل ۴-۵۰ تغییرات مقاومت غلتتشی - بار دینامیکی در بار استاتیکی ۵ kN ، فشار ۳۰۰ kPa و سرعت ۱.۴ m/s
- شکل ۴-۵۱ تغییرات بار دینامیکی و مقاومت غلتتشی در بار استاتیکی ۴ kN ، فشار باد ۳۰۰ kPa و سرعت ۲ m/s
- شکل ۴-۵۲ تغییرات ضریب مقاومت غلتتشی در بار استاتیکی ۴ kN ، فشار باد ۳۰۰ kPa و سرعت ۲ m/s
- شکل ۴-۵۳ تغییرات مقاومت غلتتشی - بار دینامیکی در بار استاتیکی ۴ kN ، فشار باد ۳۰۰ kPa و سرعت ۲ m/s
- شکل ۴-۵۴ تغییرات بار دینامیکی و مقاومت غلتتشی در بار استاتیکی ۵ kN ، فشار باد ۳۰۰ kPa و سرعت ۲ m/s
- شکل ۴-۵۵ تغییرات ضریب مقاومت غلتتشی در بار استاتیکی ۵ kN ، فشار باد ۳۰۰ kPa و سرعت ۲ m/s
- شکل ۴-۵۶ تغییرات مقاومت غلتتشی - بار دینامیکی در بار استاتیکی ۵ kN ، فشار باد ۳۰۰ kPa و سرعت ۲ m/s
- شکل ۴-۵۷ تغییرات مربوط به زمان تاخیر مقاومت غلتتشی بر حسب تغییرات سرعت پیشروی چرخ
- شکل ۴-۵۸ تغییرات مربوط به زمان تاخیر مقاومت غلتتشی بر حسب تغییرات فشار باد چرخ
- شکل ۴-۵۹ نتایج مربوط به عملکرد مدل بکر در تخمین مقاومت غلتتشی چرخ در مقایسه با داده های واقعی
- شکل ۴-۶۰ تغییرات مقاومت غلتتشی چرخ بر حسب تغییرات بار روی چرخ بر اساس مدل ویسمر - لوت
- شکل ۴-۶۱ قابلیت مدل ویسمر در تخمین مقاومت غلتتشی چرخ در مقایسه با داده های واقعی
- شکل ۴-۶۲ اثر سرعت پیشروی بر مقاومت غلتتشی چرخ در بارهای مختلف و فشار باد ۱۰۰ کیلوپاسکال
- شکل ۴-۶۳ اثر سرعت پیشروی بر مقاومت غلتتشی چرخ در بارهای مختلف و فشار باد ۲۰۰ کیلوپاسکال
- شکل ۴-۶۴ اثر سرعت پیشروی بر مقاومت غلتتشی چرخ در بارهای مختلف و فشار باد ۳۰۰ کیلوپاسکال
- شکل ۴-۶۵ اثر فشار باد تایر بر مقاومت غلتتشی چرخ در بارهای مختلف و سرعت پیشروی ۰/۷ متر بر ثانیه
- شکل ۴-۶۶ اثر فشار باد تایر بر مقاومت غلتتشی چرخ در بارهای مختلف و سرعت پیشروی ۱/۴ متر بر ثانیه
- شکل ۴-۶۷ اثر فشار باد تایر بر مقاومت غلتتشی چرخ در بارهای مختلف و سرعت پیشروی ۲ متر بر ثانیه
- شکل ۴-۶۸ تاثیر بار روی چرخ بر مقاومت غلتتشی در سرعت های مختلف و فشار باد ۱۰۰ کیلوپاسکال
- شکل ۴-۶۹ تاثیر بار روی چرخ بر مقاومت غلتتشی در سرعت های مختلف و فشار باد ۲۰۰ کیلوپاسکال

- ۱۱۶ شکل ۷۰-۴ تأثیر بار روی چرخ بر مقاومت غلتی در سرعت های مختلف و فشار باد ۳۰۰ کیلوپاسکال
- ۱۱۷ شکل ۷۱-۴ تأثیر سرعت پیشروی بر ضریب مقاومت غلتی در بارهای مختلف و فشار باد ۱۰۰ کیلوپاسکال
- ۱۱۷ شکل ۷۲-۴ تأثیر سرعت پیشروی بر ضریب مقاومت غلتی در بارهای مختلف و فشار باد ۲۰۰ کیلوپاسکال
- ۱۱۸ شکل ۷۳-۴ تأثیر سرعت پیشروی بر ضریب مقاومت غلتی در بارهای مختلف و فشار باد ۳۰۰ کیلوپاسکال
- ۱۱۸ شکل ۷۴-۴ تأثیر فشار باد تایر بر ضریب مقاومت غلتی در بارهای مختلف و سرعت پیشروی ۰/۷ متر بر ثانیه
- ۱۱۹ شکل ۷۵-۴ تأثیر فشار باد تایر بر ضریب مقاومت غلتی در بارهای مختلف و سرعت پیشروی ۰/۷ متر بر ثانیه
- ۱۱۹ شکل ۷۶-۴ تأثیر فشار باد تایر بر ضریب مقاومت غلتی در بارهای مختلف و سرعت پیشروی ۲ متر بر ثانیه
- ۱۲۰ شکل ۷۷-۴ تغییرات ضریب مقاومت غلتی - بار عمودی در سرعت های مختلف و فشار باد ۱۰۰ کیلوپاسکال
- ۱۲۰ شکل ۷۸-۴ تغییرات ضریب مقاومت غلتی - بار عمودی در سرعت های مختلف و فشار باد ۲۰۰ کیلوپاسکال
- ۱۲۱ شکل ۷۹-۴ تغییرات ضریب مقاومت غلتی - بار عمودی در سرعت های مختلف و فشار باد ۳۰۰ کیلوپاسکال
- ۱۲۲ شکل ۸۰-۴ نتایج رگرسیونی آموزش شبکه عصبی مورد استفاده
- ۱۲۳ شکل ۸۱-۴ نتایج رگرسیونی تست شبکه عصبی مورد استفاده
- ۱۲۴ شکل ۸۲-۴ تغییرات مقاومت غلتی - سرعت پیشروی با استفاده از شبکه عصبی آموزش یافته
- ۱۲۵ شکل ۸۳-۴ تغییرات مقاومت غلتی - فشار باد تایر با استفاده از شبکه عصبی آموزش یافته
- ۱۲۵ شکل ۸۴-۴ تغییرات مقاومت غلتی - بار عمودی با استفاده از شبکه عصبی آموزش یافته
- ۱۲۶ شکل ۸۵-۴ خروجی شبکه عصبی با اعمال بار عمودی سینوسی

فهرست جداول

شماره صفحه	عنوان جدول
۸	جدول ۱-۲ مقادیر تقریبی پارامترهای سختی خاک برای برخی بافت‌های خاک و در سطوح معین رطوبتی
۶۰	جدول ۱-۳ مشخصات فیزیکی خاک موجود در کanal خاک
۱۰۹	جدول ۱-۴ جدول تجزیه واریانس تاثیر سرعت بر مقاومت غلتشی چرخ در بار $1kN$ و فشار باد $100kPa$
۱۱۰	جدول ۲-۴ جدول تجزیه واریانس تاثیر سرعت بر مقاومت غلتشی چرخ در بار $1kN$ و فشار باد $200kPa$
۱۱۰	جدول ۳-۴ جدول تجزیه واریانس تاثیر سرعت بر مقاومت غلتشی چرخ در بار $1kN$ و فشار باد $300kPa$
۱۱۰	جدول ۴-۴ جدول تجزیه واریانس تاثیر سرعت بر مقاومت غلتشی چرخ در بار $2kN$ و فشار باد $100kPa$
۱۱۰	جدول ۴-۵ جدول تجزیه واریانس تاثیر سرعت بر مقاومت غلتشی چرخ در بار $2kN$ و فشار باد $200kPa$
۱۱۱	جدول ۴-۶ جدول تجزیه واریانس تاثیر سرعت بر مقاومت غلتشی چرخ در بار $2kN$ و فشار باد $300kPa$
۱۱۱	جدول ۷-۴ جدول تجزیه واریانس تاثیر سرعت بر مقاومت غلتشی چرخ در بار $3kN$ و فشار باد $100kPa$
۱۱۱	جدول ۸-۴ جدول تجزیه واریانس تاثیر سرعت بر مقاومت غلتشی چرخ در بار $3kN$ و فشار باد $200kPa$
۱۱۱	جدول ۹-۴ جدول تجزیه واریانس تاثیر سرعت بر مقاومت غلتشی چرخ در بار $3kN$ و فشار باد $300kPa$
۱۱۲	جدول ۱۰-۴ جدول تجزیه واریانس تاثیر سرعت بر مقاومت غلتشی چرخ در بار $4kN$ و فشار باد $100kPa$
۱۱۲	جدول ۱۱-۴ جدول تجزیه واریانس تاثیر سرعت بر مقاومت غلتشی چرخ در بار $4kN$ و فشار باد $200kPa$
۱۱۲	جدول ۱۲-۴ جدول تجزیه واریانس تاثیر سرعت بر مقاومت غلتشی چرخ در بار $4kN$ و فشار باد $300kPa$
۱۱۲	جدول ۱۳-۴ جدول تجزیه واریانس تاثیر سرعت بر مقاومت غلتشی چرخ در بار $5kN$ و فشار باد $100kPa$
۱۱۳	جدول ۱۴-۴ جدول تجزیه واریانس تاثیر سرعت بر مقاومت غلتشی چرخ در بار $5kN$ و فشار باد $200kPa$
۱۱۳	جدول ۱۵-۴ جدول تجزیه واریانس تاثیر سرعت بر مقاومت غلتشی چرخ در بار $5kN$ و فشار باد $300kPa$
۱۲۲	جدول ۱۶-۴ نتایج تجزیه واریانس طرح فاکتوریل با متغیرهای سرعت پیشروی، فشار باد و بار روی چرخ

فصل اول

مقدمه

۱-۱ چرخ و اهمیت مطالعه عملکرد آن

چرخ، نشانه مشهوری از تولد صنعت و شکل گیری تمدن دانش محور امروزی بشر است، به گونه ای که اختراع چرخ، به عنوان استعاره ای درخور، برای آغاز ورود جدی فناوری به جای جای گستره زندگی در جوامع انسانی به کار می رود. اصطلاح ماشین، با وجود اطلاق عمومی آن به بیشتر بخش‌های صنعت، واژه ای است که ذهن شنونده را در نخستین قدم، به سمت و سوی وسائط نقلیه و ساخته های سیار دست بشر می کشاند و این در حالی است که حرکت، به عنوان مهمترین مشخصه این سازه های صنعتی، به واسطه عواملی صورت می پذیرد که عمدۀ ترین آنها چرخ است. یک چرخ ممکن است تنها وظیفه تحمل بخشی از وزن یک ماشین را بر دوش داشته باشد و یا اینکه علاوه بر این وظیفه، تامین کشش و راه اندازی ماشین راهم بر عهده داشته باشد. عوامل موثر بر عملکرد یک چرخ، سالها پس از ساخته شدن چرخ های نخستین مورد توجه قرار گرفته است و شاید در آغاز، صرفا گرد بودن و استحکام کافی داشتن برای یک چرخ کافی بوده باشد اما امروزه طراحی و به کارگیری چرخ ها با وسوسات قابل ملاحظه ای دنبال می شود. عملکرد یک چرخ، طی فرایند درگیری با زمین، علاوه بر شرایط بارگذاری و چگونگی سطح زیرین چرخ، تحت تاثیر هندسه و ساختار فیزیکی چرخ هم قرار دارد. مطالعه پارامترهای موثر بر عملکرد چرخ، بیشتر در ارتباط با بهینه سازی مصرف انرژی است. به عنوان مثال، وولفسون^۱ در سال ۱۹۸۷ اتفاق سوخت مصرفی در بخش کشاورزی آمریکا را که ناشی از بازده پایین در چرخ های ماشین های مزرعه ای بوده است در حدود ۵۷۵ میلیون لیتر در سال گزارش کرده است.

۲-۱ مقدمه ای بر سامانه های آزمون خاک و ماشین

امروزه رویکرد غالبی که در کشورهای توسعه یافته در رابطه با کشاورزی و نهاده های آن مد نظر قرار گرفته است عبارت است از کشاورزی پایدار و کنار گذاشتن نگاه ماشین محور و افزایش تولید به هر قیمت. از اینرو، کیفیت مواجهه با خاک از دیدگاه مدیریت خاک و تولید محصول، مورد توجه بسیار است و کوشش می شود که ابزارها و روش‌های تقابل با خاک، به گونه ای طراحی و تدوین شود که تا حد امکان از پیامدهای تخریبی خاک و نیز هدر رفت انرژی که خود دربرگیرنده محدودیت های اقتصادی و زیست محیطی نیز می باشد پیشگیری شود. بهتر کردن روش‌های روبرویی با خاک و اصلاح

^۱ - Wulfsun

ابزارهای مربوط به آن، مستلزم انجام آزمونهای مورد اعتمادی است که در شرایط واقعی، خاک و ابزار صورت گرفته باشند و این مهم با توجه به پیچیدگی و تنوع متغیرهای حاکم بر تقابل خاک و ماشین، دشوار می‌نماید. بر همین اساس، ایجاد شرایط کنترل شده آزمونهای مذکور در محیط‌های از پیش آماده شده نظری سویل بین‌ها، راه حل مناسبی به نظر می‌رسد به گونه‌ای که بتوان با در دست داشتن یکنواختی مناسبی از کمیتهایی مانند رطوبت، وضعیت خاک، سرعت پیشروی ابزار و مواردی از این قبیل، تأثیر پارامترهای هدف را مورد مطالعه قرار داد.

چرخ به عنوان یکی از عمدۀ ترین عوامل درگیر با خاک، در شمار ابزارهایی است که علاوه بر محیط‌های مزرعه‌ای، در محیط‌های کنترل شده مانند سویل بین‌ها هم قابل بررسی و شبیه‌سازی است به شرطی که آزمونگرهای ویژه چرخ را بتوان در ترکیب مناسبی با سویل بین‌های معمول آزمایش‌های خاک و ماشین به کار گرفت. این رساله، علیرغم اینکه به طور خاص به بررسی چند پارامتر محدود مربوط به رفتار چرخ و خاک می‌پردازد اما در قدم‌های نخست، مشتمل بر طراحی و ساخت یک مجموعه کامل سویل بین و آزمونگر سویل بینی چرخ بوده است.

۳-۱ رویارویی چرخ و خاک و مقاومت غلتشی

مقاومت غلتشی، عامل ناخواسته‌ای است که به محض حرکت چرخ بر روی یک سطح به وجود می‌آید. این عامل در ارتباط مستقیم با چند و چون تغییر شکل‌های به وجود آمده در چرخ و سطح زیرین آن است و بر همین اساس، در شرایط حرکت بر روی سطح خاک، از پیچیدگی بیشتری برخوردار می‌باشد. کاهش هرچه بیشتر مقاومت غلتشی در فرایند طراحی و به کارگیری چرخ‌ها همواره مدنظر بوده و این پارامتر، در مدل‌ها و مطالعات مختلف انجام شده پیرامون تقابل چرخ و خاک، همواره دخیل بوده است.

۴-۱ فرضیه‌های پژوهش

در این تحقیق، پس از طراحی و ساخت مجموعه سویل بین و آزمونگر تک چرخ، بررسی اثر چند پارامتر مرتبط با مقاومت غلتشی یک چرخ غیر محرک در دستور کار قرار گرفته و فرضیات زیر مورد ارزیابی قرار گرفته است.

۱- علیرغم اینکه پارامتر سرعت پیشروی در بیشتر مدل‌های پیشین چرخ و خاک غایب بوده است اما مقاومت غلتشی چرخ را تحت تأثیر قرار میدهد.

۲- متغیر بودن بار روی چرخ، منجر به رخداد مقاومت غلتشی متغیری خواهد گردید که تابع تغییرات آن رابطه محسوس و معینی با تابع تغییرات بار دینامیکی روی چرخ دارد.

۳- شبکه‌های عصبی مصنوعی قادر به حسن کردن رابطه ولو پیچیده بین پارامترهای سرعت پیشروی، بار دینامیکی روی چرخ و فشار باد تایر به عنوان ورودی و مقدار نیروی مقاومت غلتشی به عنوان خروجی بوده و می‌توانند بر اساس داده‌های واقعی به دست آمده در آزمایشات پیش رو در این پژوهش، آموزش یافته و مقاومت غلتشی چرخ را با دقت مناسبی برای هر ورودی دلخواه پیش بینی نمایند.

۱-۵ اهداف مورد نظر

مواردی چند را می توان به عنوان هدف های مورد نظر در این پایان نامه به شرح زیر برشمرد.

- ۱- طراحی و ساخت یک مجموعه کامل آزمون تقابل خاک و ماشین در قالب یک سویل بین با ظرفیت های بالا و قابلیت انجام آزمایش هایی با سرعت های بالا و عرض کار زیاد.
- ۲- طراحی و ساخت یک آزمونگر تک چرخ قابل ترکیب با سویل بین ساخته شده، با امکان ایجاد بار متغیر بر روی چرخ مورد آزمایش.
- ۳- بررسی تاثیر سرعت پیشروی چرخ بر روی مقاومت غلتی چرخ در شرایط مختلف بار روی چرخ و فشار باد تایر.
- ۴- بررسی اثر بار دینامیکی متغیر بر روی مقاومت غلتی چرخ از نظر مقایسه تغییرات این دو نیرو.
- ۵- جستجوی یک شبکه عصبی مناسب که بتواند با دریافت داده های آزمون های انجام شده، آموزش یافته و قابلیت شبیه سازی مقاومت غلتی چرخ بر اساس پارامترهای چرخ و خاک را دارا باشد.
- ۶- مقایسه نتایج شبیه سازی شبکه عصبی طراحی شده با نتایج به دست آمده در روشهای قبلی در رابطه با تاثیر پارامترهای سرعت پیشروی، بار دینامیکی و فشار باد تایر.